

图像正交变换

杭州电子科技大学 李黎

主要内容

- 离散傅立叶变换
 - 一维和二维傅立叶变换定义
 - 快速傅立叶变换
 - 应用
- 离散余旋DCT变换
 - 一维和二维DCT变换定义
 - DCT变换编码
- 离散K-L变换
- 沃尔什和哈达玛变换
- 数字图像的正交基表示

图像信号的正交变换-离散傅立叶变换

离散傅里叶变换 Discrete Fourier Transform

DFT是重要的变换

- 1.分析有限长序列的有用工具。
- 2.在信号处理的理论上有重要意义。
- 3.在运算方法上起核心作用，谱分析、卷积、相关都可以通DFT在计算机上实现。

图像信号的正交变换-离散傅立叶变换

一维离散傅立叶变换:

定义: 设 $\{f(n)|n=0,...,N-1\}$ 为一维信号的 N 个采样值, 其离散傅立叶变换及其逆变换分别为:

$$F(u) = \frac{1}{N} \sum_{k=0}^{N-1} f(k) e^{-j2\pi \frac{uk}{N}}, u=0,1,...,N-1$$

$$f(k) = \sum_{u=0}^{N-1} F(u) e^{j2\pi \frac{uk}{N}}, k=0,1,...,N-1$$

图像信号的正交变换-离散傅立叶变换

当u取不同值后，有：

$$F(0) = \frac{1}{N} [f(0) + f(1) + \dots + f(N-1)]$$

$$F(1) = \frac{1}{N} [f(0) + f(1)e^{-j2\pi\frac{1}{N}} + \dots + f(N-1)e^{-j2\pi\frac{N-1}{N}}]$$

⋮

$$F(N-1) = \frac{1}{N} [f(0) + f(1)e^{-j2\pi\frac{(N-1)}{N}} + \dots + f(N-1)e^{-j2\pi\frac{(N-1)(N-1)}{N}}]$$

图像信号的正交变换-离散傅立叶变换

$$\begin{bmatrix} F(0) \\ F(1) \\ \vdots \\ F(N-1) \end{bmatrix} = \begin{bmatrix} 1 & 1 & \dots & 1 \\ 1 & e^{-j2\pi\frac{1}{N}} & \dots & e^{-j2\pi\frac{N-1}{N}} \\ \vdots & \vdots & \ddots & \vdots \\ 1 & e^{-j2\pi\frac{N-1}{N}} & \dots & e^{-j2\pi\frac{(N-1)(N-1)}{N}} \end{bmatrix} \times \begin{bmatrix} f(0) \\ f(1) \\ \vdots \\ f(N-1) \end{bmatrix}$$

$$F = H \times f$$

图像信号的正交变换-离散傅立叶变换

二维离散傅立叶变换:

定义: 设 $\{f(x,y)|x=0,...,N-1, y=0,...,M-1\}$ 为二维图像信号
其离散傅立叶变换及其逆变换分别为:

$$F(u,v) = \frac{1}{\sqrt{MN}} \sum_{x=0}^{N-1} \sum_{y=0}^{M-1} f(x,y) e^{-j2\pi(\frac{ux}{N} + \frac{vy}{M})}$$

$$f(x,y) = \frac{1}{\sqrt{MN}} \sum_{u=0}^{N-1} \sum_{v=0}^{M-1} F(u,v) e^{j2\pi(\frac{ux}{N} + \frac{vy}{M})}$$

图像信号的正交变换-离散傅立叶变换

二维图像信号的频谱:

$$F(u, v) = |F(u, v)| \exp[j\varphi(u, v)] = R(u, v) + jI(u, v)$$

相位谱:
$$\varphi(u, v) = \operatorname{tg}^{-1} \left[\frac{I(u, v)}{R(u, v)} \right]$$

幅度谱:
$$|F(u, v)| = [R(u, v)^2 + I(u, v)^2]^{1/2}$$

图像信号的正交变换-离散傅立叶变换

二维离散傅立叶变换性质：

- 线性、位移、尺度、卷积、相关

- 变换的可分离性

可以分解为两个一维离散傅立叶变换
运算过程，先行后列，先列后行

- 旋转不变性

图像在空间域旋转一定角度，其频谱在频域旋转同样角度

- 加法定理

$$f(x) + g(x, y) \Leftrightarrow F(u, v) + G(u, v)$$

- 相似性定理

$$f(ax, by) \Leftrightarrow \frac{1}{|ab|} F\left(\frac{u}{a}, \frac{v}{b}\right)$$

- 位移定理

$$f(x - a, y - b) \Leftrightarrow e^{-j2\pi(au + bv)} F(u, v)$$

- 卷积定理

$$f(x, y) \times g(x, y) \Leftrightarrow F(u, v) G(u, v)$$

- 可分离乘积

$$f(x) \times g(y) \Leftrightarrow F(u)G(v)$$

- 微分

$$\left(\frac{\partial}{\partial x}\right)^m \left(\frac{\partial}{\partial y}\right)^n f(x, y) \Leftrightarrow (j2\pi u)^m (j2\pi v)^n F(u, v)$$

- 旋转

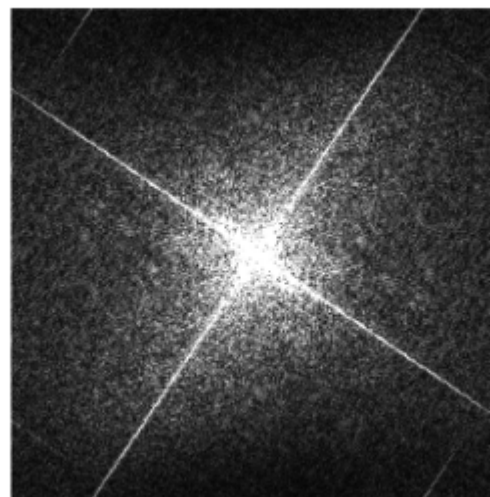
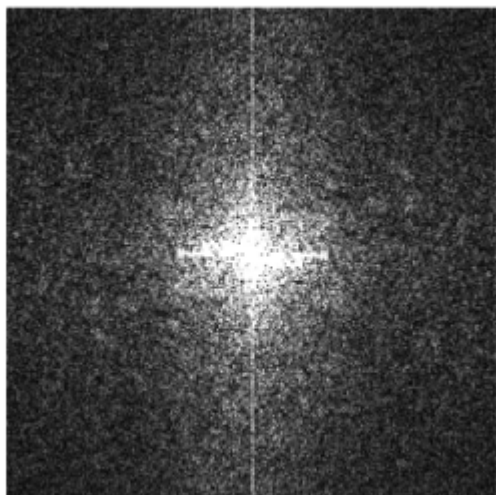
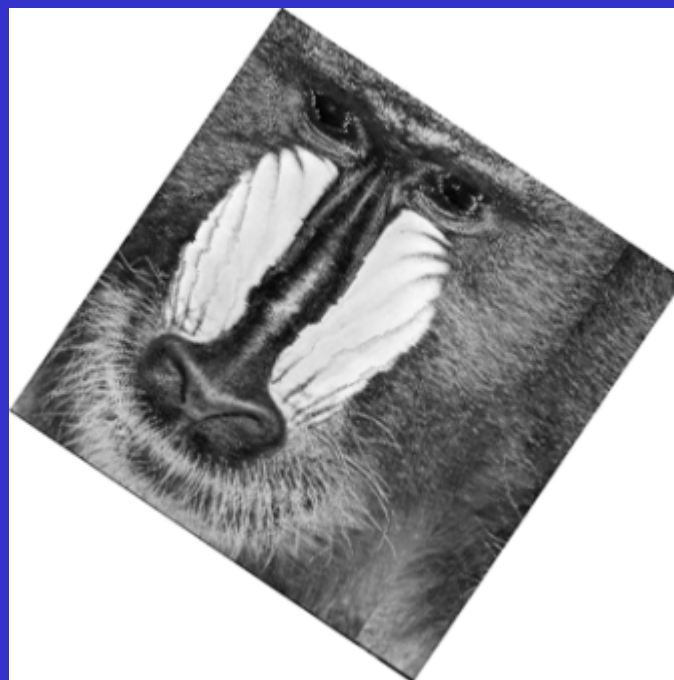
$$\begin{aligned} & f(x \cos \theta + y \sin \theta, -x \sin \theta + y \cos \theta) \\ & \Leftrightarrow F(u \cos \theta + v \sin \theta, -u \sin \theta + v \cos \theta) \end{aligned}$$

- 拉普拉斯变换

$$\begin{aligned} \nabla^2 f(x, y) &= \frac{\partial^2}{\partial x^2} + \frac{\partial^2}{\partial y^2} f(x, y) \\ &\Leftrightarrow -4\pi^2 (u^2 + v^2) F(u, v) \end{aligned}$$

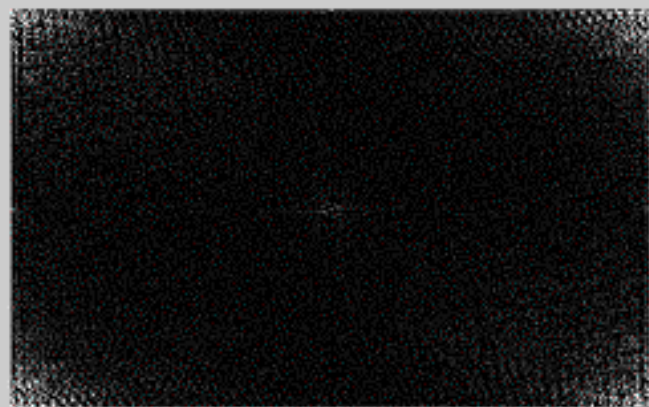
- Rayleigh定理

$$\int_{-\infty}^{+\infty} \int_{-\infty}^{+\infty} |f(x, y)|^2 dx dy = \int_{-\infty}^{+\infty} \int_{-\infty}^{+\infty} |F(u, v)|^2 du dv$$

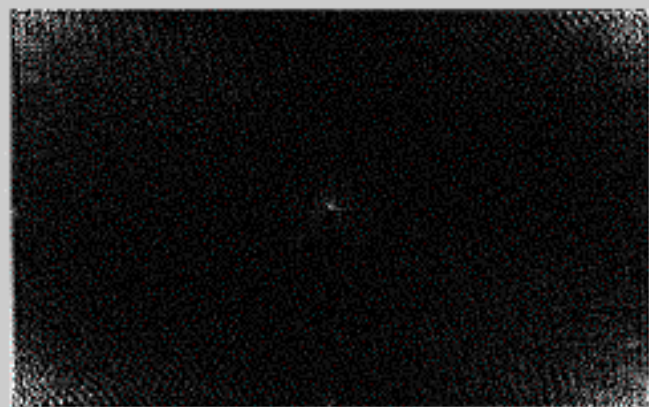




原始图像



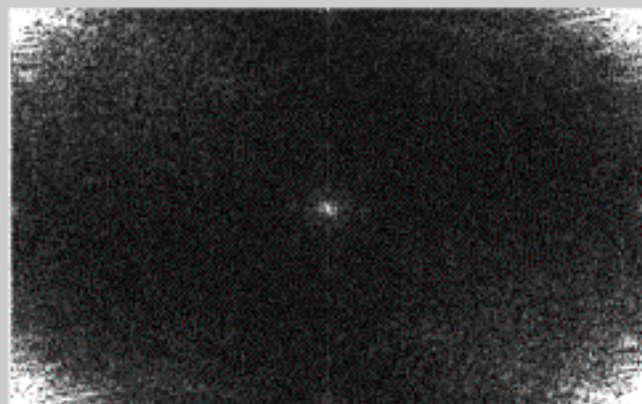
实部频谱



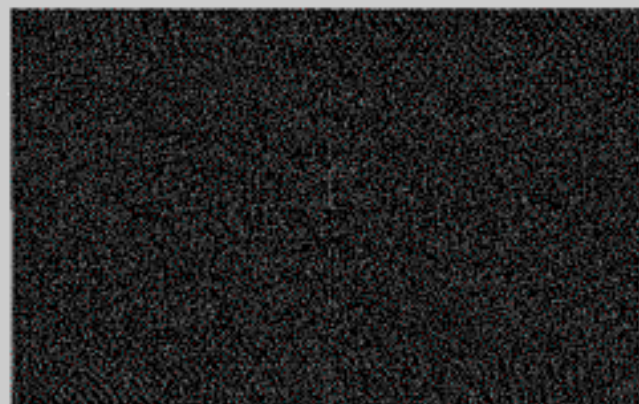
虚部频谱



原始图像

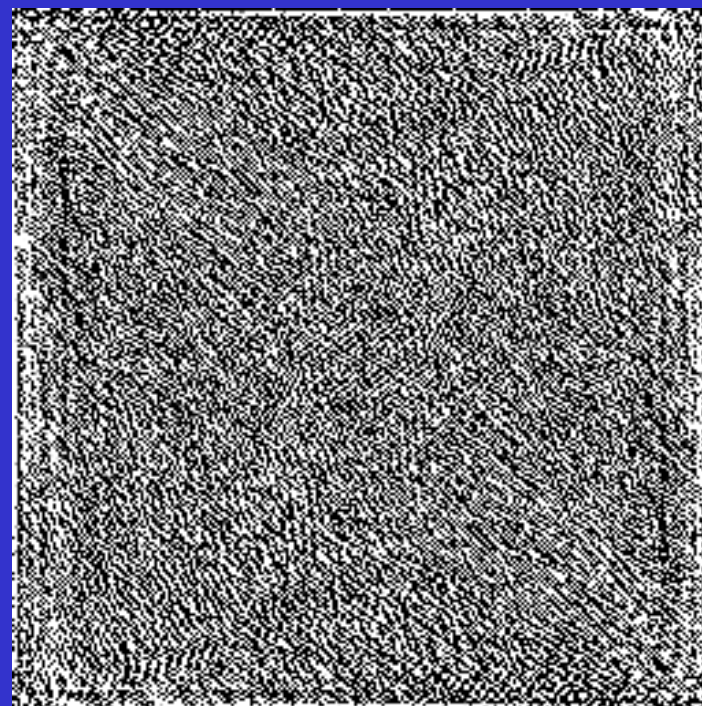


幅度频谱

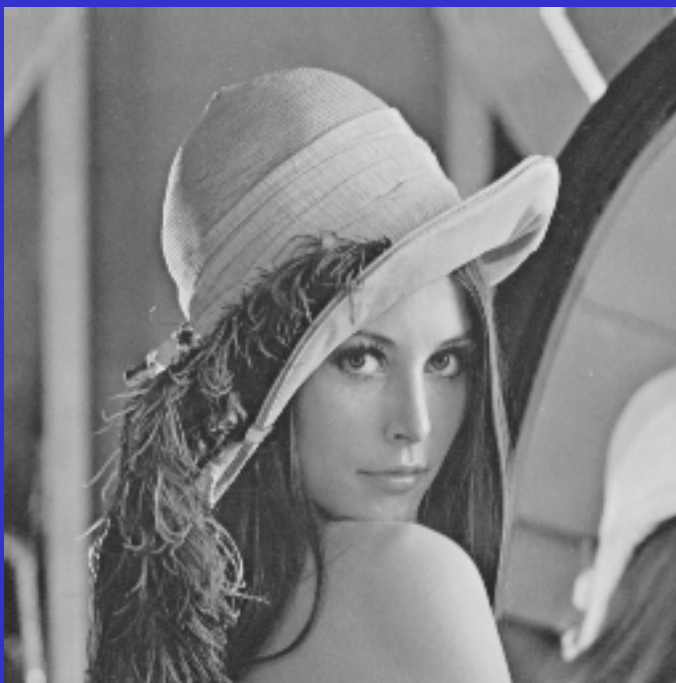


相位频谱

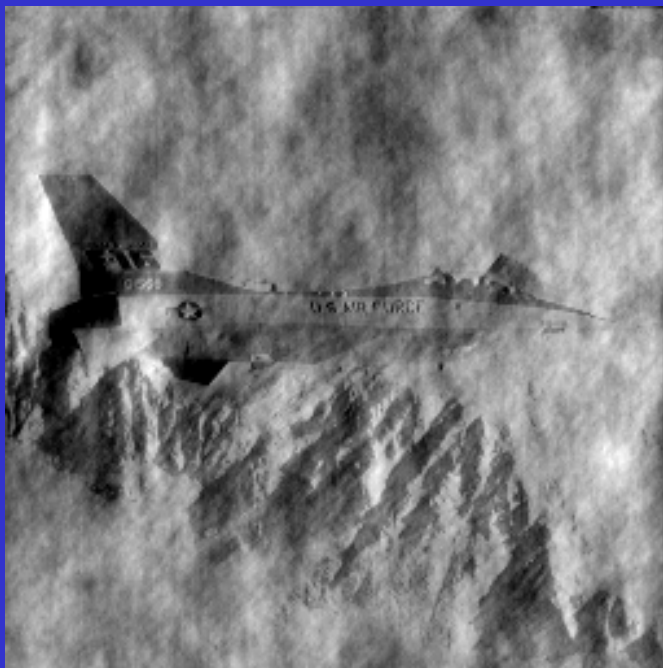
幅值谱 (DFT of Lena)



将两幅图的幅度谱和相位分别合成

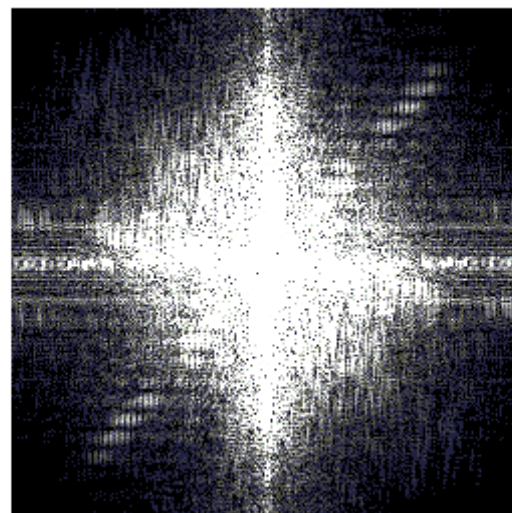
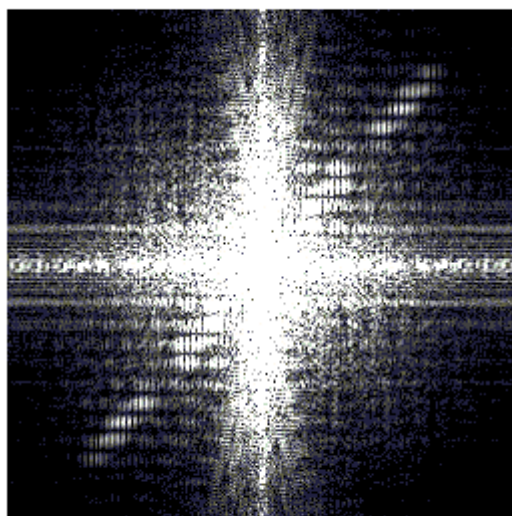
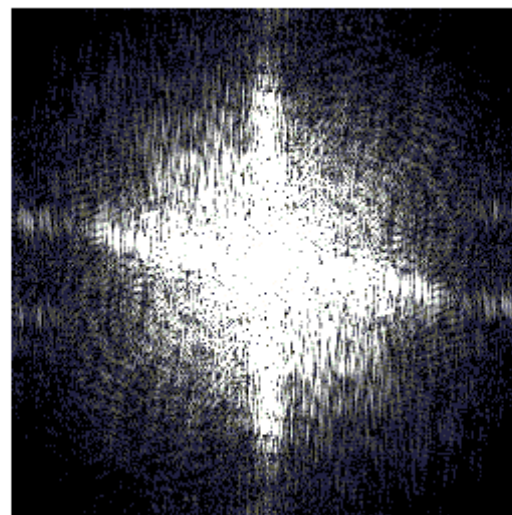


合成结果



MATLAB程序

- `mat000=imread('2.tif');`
- `mat011=fftshift(fft2(mat000(:,:,1)));`
- `% mat011=fftshift(fft2(mat000(:,:,2)));`
- `% mat011=fftshift(fft2(mat000(:,:,3)));`
- `mat=abs(mat011);`
- `mat=double(mat);`
- `figure;imshow((mat./30),gray(256))`



图像信号的正交变换-离散傅立叶变换

DFT的计算工作量

$$X(k) = \sum_{n=0}^{N-1} x(n) W_N^{nk}, \quad k = 0, 1, \dots, N-1$$

$$x(n) = \frac{1}{N} \sum_{k=0}^{N-1} X(k) W_N^{-nk}, \quad n = 0, 1, \dots, N-1$$

两者的差别仅在指数的符号和因子1/N.

图像信号的正交变换-离散傅立叶变换

一个 $X(k)$ 的的工作量, 如 $X(1)$

$$X(1) = x(0)W_N^0 + x(1)W_N^1 + x(2)W_N^2 + \cdots + x(N-1)W_N^{N-1}$$

通常 $x(n)$ 和 W_N^{nk} 都是复数, 所以计算一个 $X(k)$ 的值需要 N 次复数乘法运算, 和 $N-1$ 次复数加法运算. 那么, 所有的 $X(k)$ 就要 N^2 次复数乘法运算, $N(N-1)$ 次复数加法运算. 当 N 很大时, 运算量将是惊人的, 如 $N=1024$, 则要完成1048576 次(一百多万次)运算. 这样, 难以做到实时处理.

改进的途径

1. W_N^{nk} 的对称性和周期性

对称性: $(W_N^{nk})^* = W_N^{-nk},$

周期性: $W_N^{nk} = W_N^{(n+N)k} = W_N^{n(k+N)};$

得:

$$W_N^{n(N-k)} = W_N^{(N-n)k} = W_N^{-nk} (\because W_N^{Nk} = W_N^{Nn} = e^{-2\pi k(n)} = 1),$$

$$W_N^{N/2} = -1 (\because W_N^{N/2} = e^{-j\pi} = -1),$$

$$W_N^{(k+N/2)} = -W_N^k.$$

改进的途径

将原函数分为奇数项和偶数项，通过不断的一个奇数一个偶数的相加（减），最终得到需要的结果。也就是说FFT是将复杂的运算变成两个数相加（减）的简单运算的重复。从而降低运算次数, 提高运算速度. 1965年, 库利(cooley)和图基(Tukey)首先提出FFT算法. 对于N点DFT, 仅需 $(N/2) \log_2 N$ 次复数乘法运算. 例如 $N=1024=2^{10}$ 时, 需要 $(1024/2) \log_2 2^{10} = 512 * 10 = 5120$ 次。 $5120/1048576 = 4.88\%$, 速度提高20倍

改进的途径

2、快速Fourier变换的推导

$$\text{令: } w_N^{\mu x} = \exp(-j \frac{2\pi \mu x}{N})$$

$$\text{则: } F(\mu) = \frac{1}{N} \sum_{r=0}^{N-1} f(x) w_N^{\mu x}$$

$$= \frac{1}{2} \left[\frac{2}{N} \sum_{r=0}^{N/2-1} f(2x) w_N^{2\mu x} + \frac{2}{N} \sum_{r=1}^{N/2-1} f(2x+1) w_N^{\mu(2x+1)} \right]$$

$$\stackrel{\text{令}}{=} \frac{1}{2} \left[\frac{1}{M} \sum_{x=0}^{M-1} f(2x) w_M^{\mu x} + \frac{1}{M} \sum_{x=1}^{M-1} f(2x+1) w_M^{\mu x} w_N^{\mu} \right]$$

$$= \frac{1}{2} [F_e(\mu) + w_N^{\mu} F_o(\mu)]$$

(分成奇数项和偶数项之和)

$$0 \leq \mu \leq M$$

改进的途径

$$F(\mu + M) = \frac{1}{2} [F_e(\mu + M) + w_N^{\mu+M} F_o(\mu + M)]$$

$$= \frac{1}{2} [F_e(\mu) + w_N^{\mu+M} F_o(\mu)]$$

$$w_N^{\mu+M} = w_N^\mu \cdot w_N^M = w_N^\mu \cdot \exp(-j \frac{2\pi M}{N})$$

$$= w_N^\mu \cdot \exp(-j\pi) = -w_N^\mu$$

$$\therefore F(\mu + M) = \frac{1}{2} [F_e(\mu) - w_N^\mu F_o(\mu)]$$

改进的途径

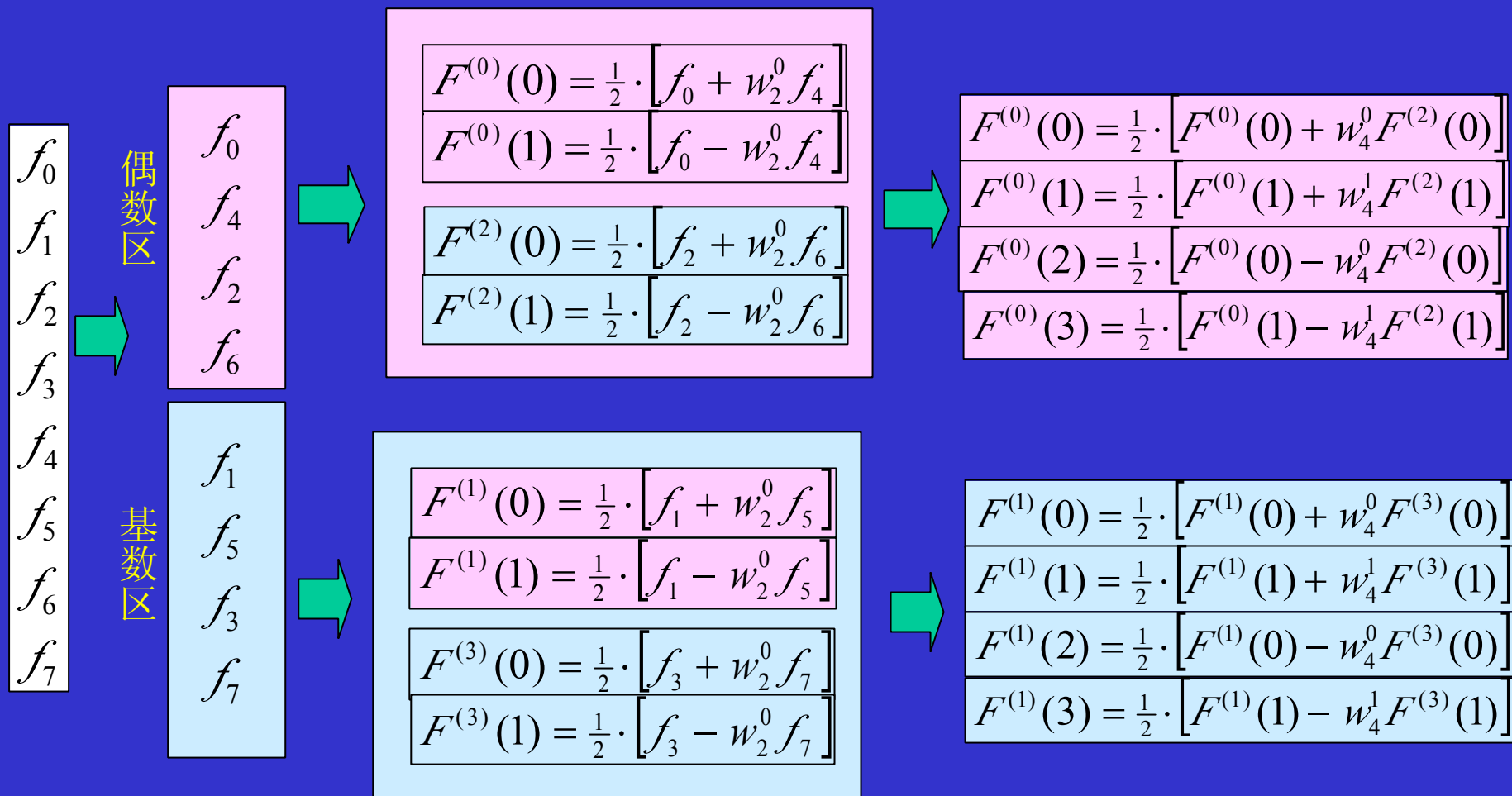
例：设对一个函数进行快速Fourier变换，函数为：

$$f_0, f_1, f_2, f_3, f_4, f_5, f_6, f_7$$

分成偶数、奇数为：

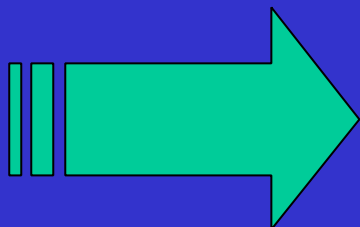


改进的途径



改进的途径

f_0
 f_1
 f_2
 f_3
 f_4
 f_5
 f_6
 f_7



$$\begin{aligned} F(0) &= \frac{1}{2} \cdot \left[F^{(0)}(0) + w_8^0 F^{(1)}(0) \right] \\ F(1) &= \frac{1}{2} \cdot \left[F^{(0)}(1) + w_8^1 F^{(1)}(1) \right] \\ F(2) &= \frac{1}{2} \cdot \left[F^{(0)}(2) + w_8^2 F^{(1)}(2) \right] \\ F(3) &= \frac{1}{2} \cdot \left[F^{(0)}(3) + w_8^3 F^{(1)}(3) \right] \\ F(4) &= \frac{1}{2} \cdot \left[F^{(0)}(0) - w_8^0 F^{(1)}(0) \right] \\ F(5) &= \frac{1}{2} \cdot \left[F^{(0)}(1) - w_8^1 F^{(1)}(1) \right] \\ F(6) &= \frac{1}{2} \cdot \left[F^{(0)}(2) - w_8^2 F^{(1)}(2) \right] \\ F(7) &= \frac{1}{2} \cdot \left[F^{(0)}(3) - w_8^3 F^{(1)}(3) \right] \end{aligned}$$

改进的途径

3、二维快速Fourier变换:

因为2维DFT可以看成是两次的1维DFT变换，即：

$$F(\mu, \nu) = f_{\text{行}} \{ f_{\text{列}} [f(x, y)] \}$$

所以二维快速Fourier变换实际上是对其进行了2次的一维FFT变换。

改进的途径

4、稍微变动FFT程序和参数可实现IFFT

$$X(k) = DFT[x(n)] = \sum_{n=0}^{N-1} x(n) W_N^{nk}$$
$$x(n) = IDFT[X(k)] = \frac{1}{N} \sum_{k=0}^{N-1} X(k) W_N^{-nk}$$

比较两式可知, 只要DFT的每个系数 W_N^{nk} 换成 W_N^{-nk} , 最后再乘以常数 $1/N$ 就可以得到IDFT的快速算法--IFFT。

另外, 可以将常数 $1/N$ 分配到每级运算中,

$\therefore \frac{1}{N} = \frac{1}{2^L} = \left(\frac{1}{2}\right)^L$, 也就是每级蝶形运算均乘以 $1/2$ 。

5、不改(FFT)的程序直接实现IFFT

$$\because [W_N^{-nk}]^* = W_N^{nk}, [A \cdot B]^* = A^* \cdot B^*$$

$$\begin{aligned} \therefore x^*(n) &= \left[\frac{1}{N} \sum_{k=0}^{N-1} X(k) W_N^{-nk} \right]^* \\ &= \frac{1}{N} \sum_{k=0}^{N-1} X^*(k) W_N^{nk} \end{aligned}$$

因此, $x(n)$

$$\begin{aligned} &= \frac{1}{N} \left[\sum_{k=0}^{N-1} X^*(k) W_N^{nk} \right]^* \\ &= \frac{1}{N} \left\{ DFT \left[X^*(k) \right] \right\}^* \end{aligned}$$

改进的途径

这就是说, 先将 $X(k)$ 取共轭, 即将 $X(k)$ 的虚部乘 -1 , 直接利用FFT程序计算DFT; 然后再取一次共轭; 最后再乘 $1/N$, 即得 $x(n)$ 。所以FFT, IFFT可用一个子程序。

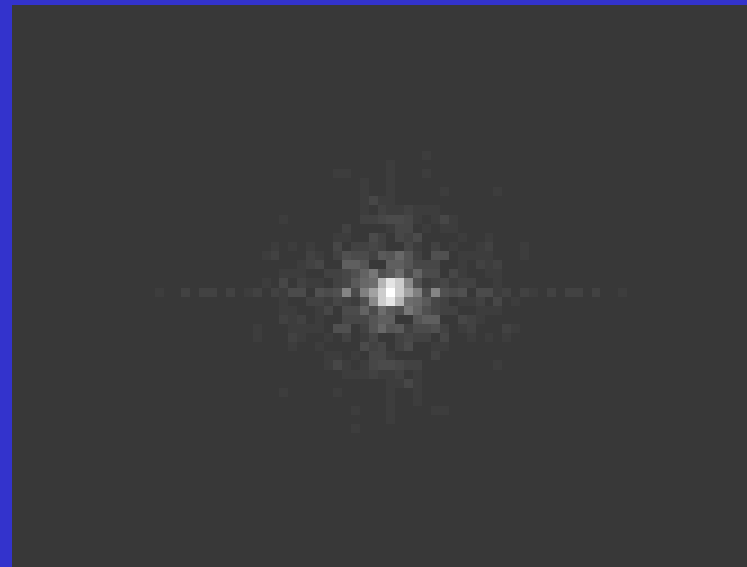
二维Fourier变换的应用

1、Fourier变换在图像滤波中的应用

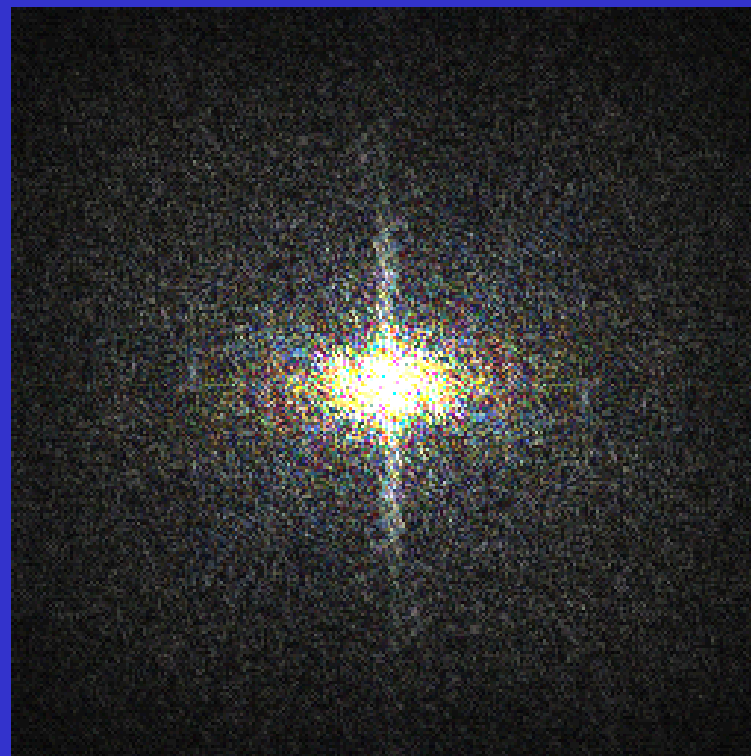
首先，我们来看Fourier变换后的图像，中间部分为低频部分，越靠外边频率越高。

因此，我们可以在Fourier变换图中，选择所需要的高频或是低频滤波。

Fourier 变换示意图

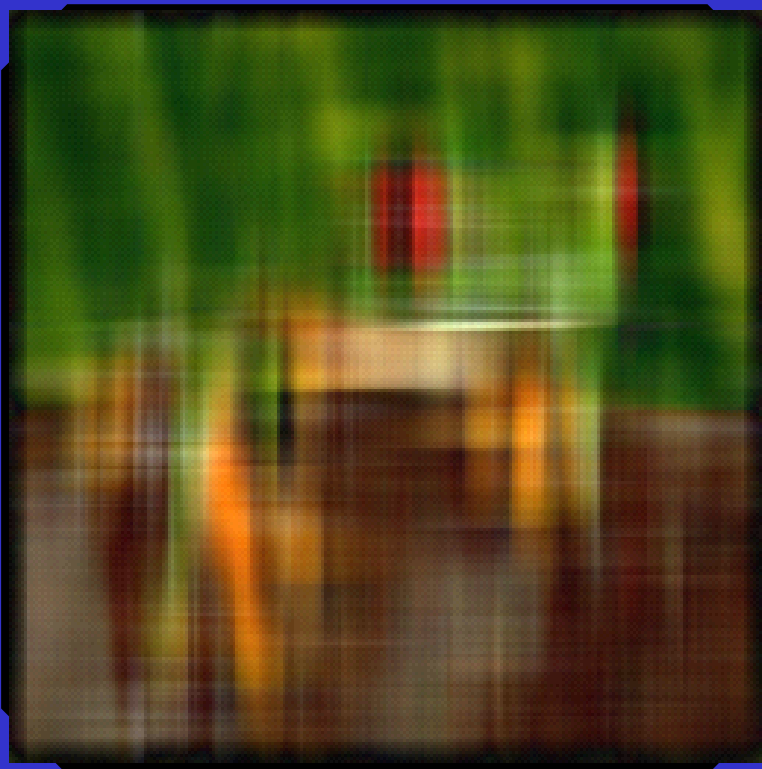


Fourier变换的频率特性



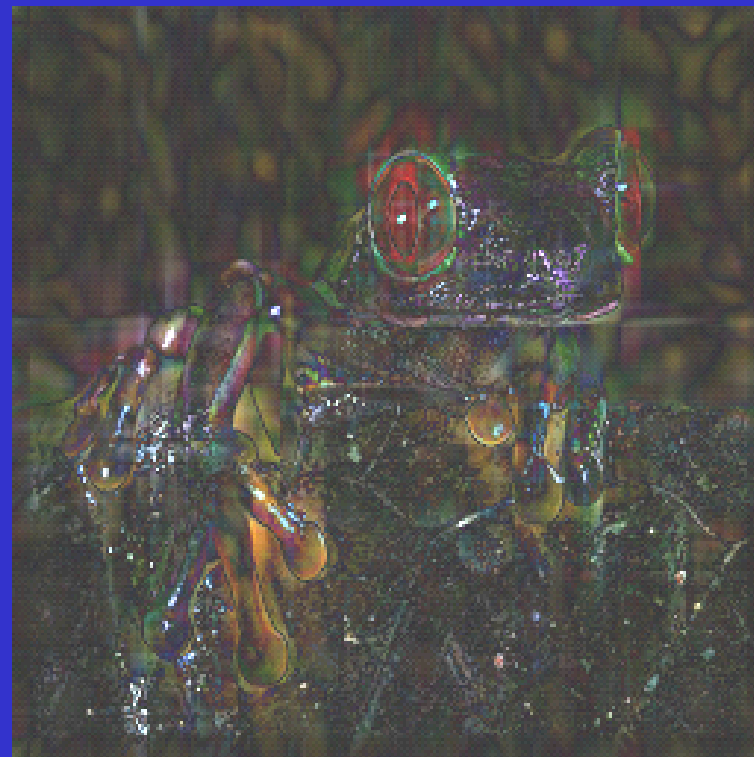
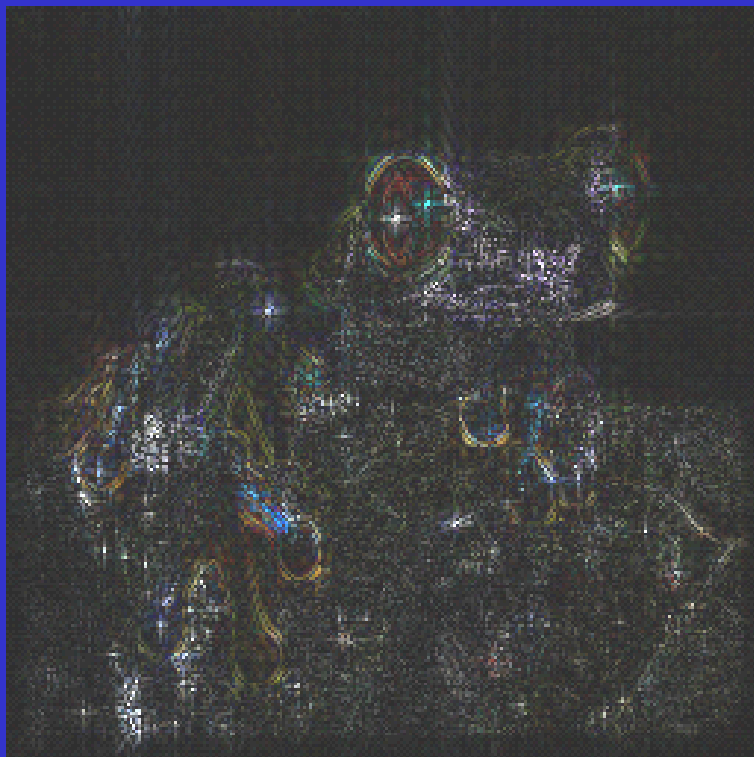
Fourier变换的低通滤波

低频通过，低频
反映景物概貌



Fourier变换的高通滤波

高频通过，高频
反映细节。

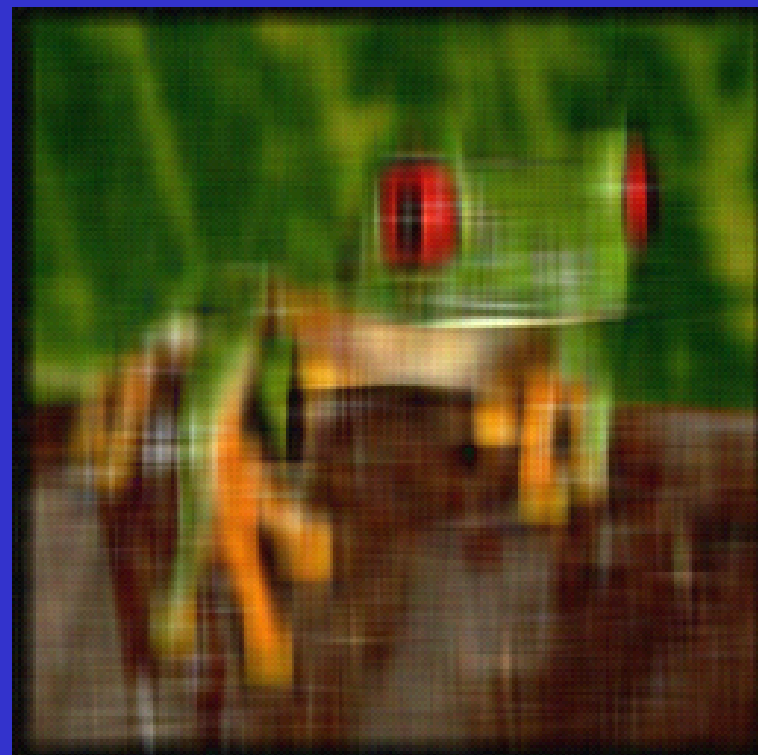


Fourier变换的应用

2、Fourier变换在图像压缩中的应用

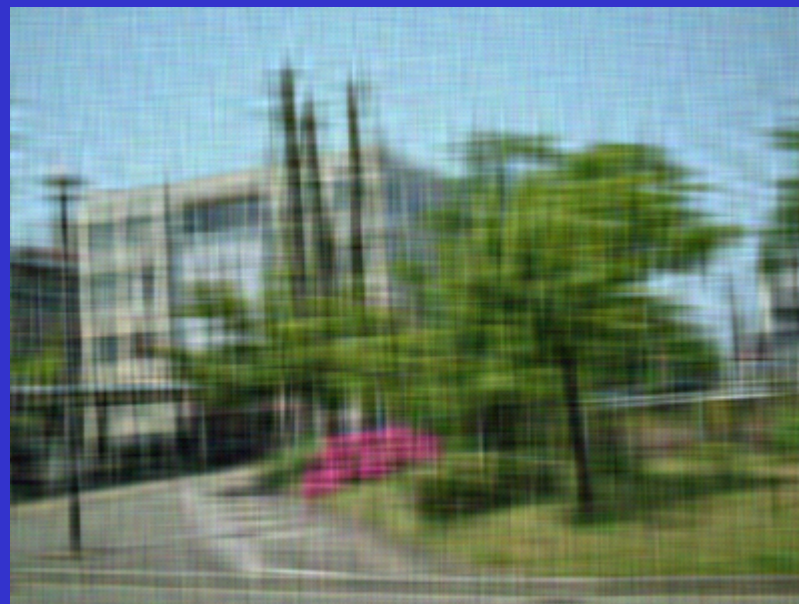
变换系数刚好表现的是各个频率点上的幅值。在小波变换没有提出时，用来进行压缩编码。考虑到高频反映细节、低频反映景物概貌的特性。往往认为可将高频系数置为0，骗过人眼。

Fourier变换的压缩原理



压缩率为：3.3：1

Fourier变换的压缩原理



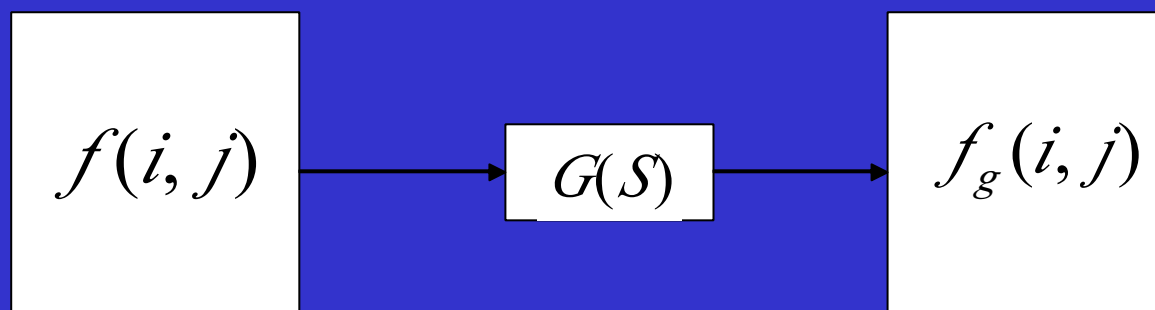
压缩率为：16.1：1

二维Fourier变换的应用

3、 Fourier变换在卷积中的应用：

从前面的图像处理算法中知道，如果抽象来看，其实都可以认为是图像信息经过了滤波器的滤波（如：平滑滤波、锐化滤波等）。如果滤波器的结构比较复杂时，直接进行时域中的卷积运算是不可思议的。

二维Fourier变换的应用



$$f_g = g * f$$

$$F_g(\mu, \nu) = G(\mu, \nu) \cdot F(\mu, \nu)$$

$$f_g = FFT^{-1}(F_g)$$

二维Fourier变换的应用

- 对图像定位的应用
- 以待定位的目标为模板在待识别图像上滑动, 利用卷积的性质

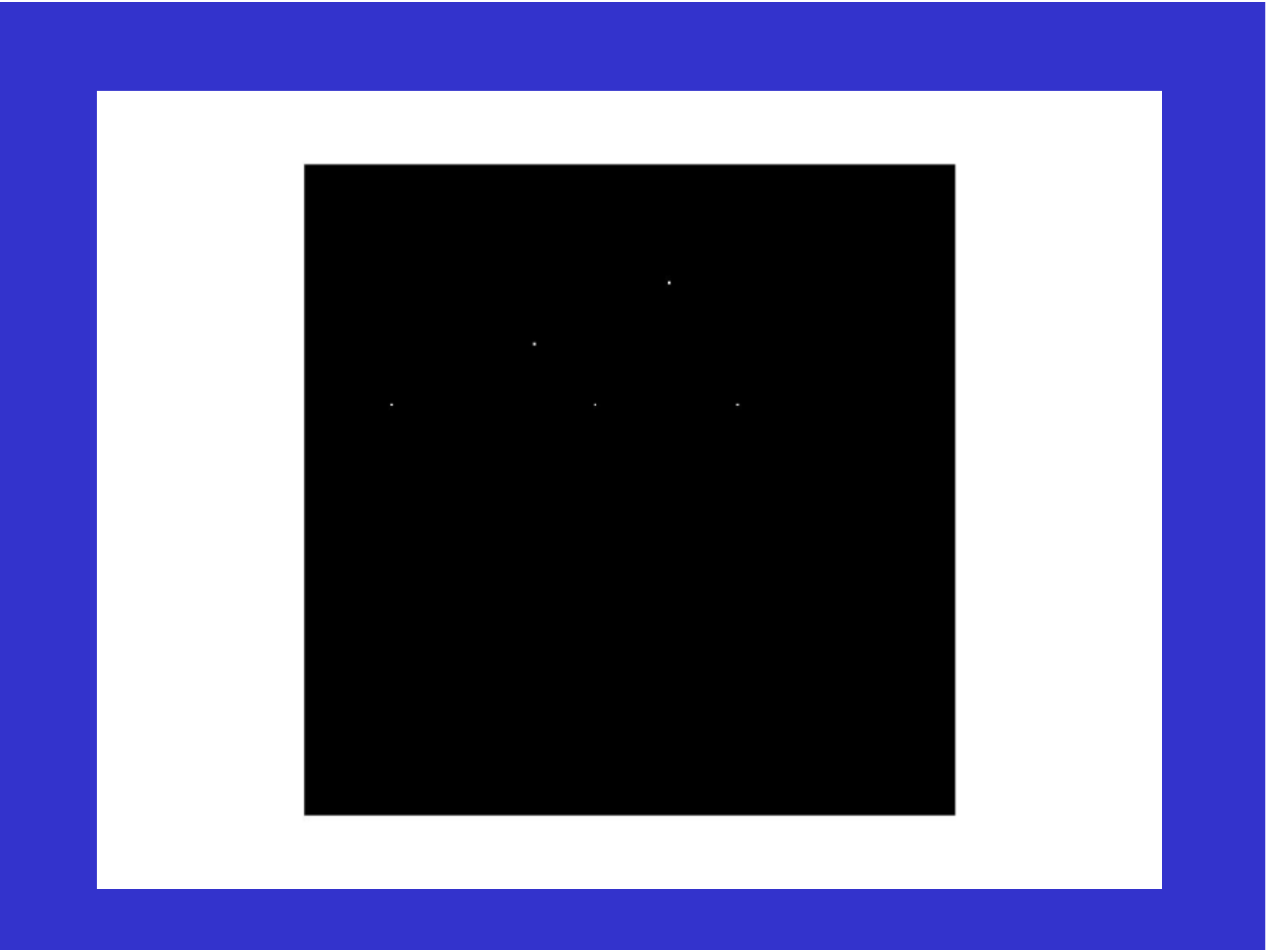
Cross-Correlation Used
To Locate A Known
Target in an Image

Text Running
In Another
Direction

2

Cross Correlation Used
To Locate A Known
Target in an Image

David R. Stalling
The Aerospace
Corporation



图像信号的正交变换—离散余弦变换 (DCT)

问题的提出:

Fourier变换的一个最大的问题是：它的参数都是复数，在数据的描述上相当于实数的两倍。
为此，我们希望有一种能够达到相同功能但数据量又不大的变换。

在此期望下，产生了DCT变换。

图像信号的正交变换—离散余弦变换（DCT）

DCT变换的应用：

余弦变换实际上是傅立叶变换的实数部分。
余弦变换主要用于图像的压缩，如目前的国际压缩标准的JPEG格式中就用到DCT变换。具体的做法与DFT相似。给高频系数大间隔量化，低频部分小间隔量化。

图像信号的正交变换—离散余旋变换

一维离散余旋变换:

由于实偶函数的傅立叶变换只含有余旋项, 因此构造了一种实数域的变换—DCT变换。

DCT变换的基本思想是将一个实函数对称延拓成一个实偶函数, 实偶函数的傅立叶变换也必然是实偶函数。

$$g(x) = \begin{cases} f(x - \frac{1}{2}), & x = \frac{1}{2}, \dots, \frac{1}{2} + (N-1) \\ f(-x + \frac{1}{2}), & x = -\frac{1}{2}, \dots, -\frac{1}{2} - (N-1) \end{cases}$$

图像信号的正交变换-离散余旋变换

一维离散余旋变换:

$$F(u) = C(u) \sqrt{\frac{2}{N}} \sum_{x=0}^{N-1} f(x) \cos \frac{(2x+1)u\pi}{2N}$$

$$f(x) = \sqrt{\frac{2}{N}} \sum_{u=0}^{N-1} C(u) F(u) \cos \frac{(2x+1)u\pi}{2N}$$

$$C(u) = \begin{cases} 1/\sqrt{2}, & u=0 \\ 1, & \text{otherwise} \end{cases}$$

余弦变换基函数

$$\begin{bmatrix} 1 & \dots & 1 \\ \cos(\pi/2N) & \dots \cos((2N-1)\pi/2N) \\ \vdots & \vdots \\ \cos((N-1)\pi/2N) & \dots \cos((N-1)(2N-1)\pi/2N) \end{bmatrix}$$

$$F = G \times f$$

图像信号的正交变换-离散余弦变换

二维离散余弦变换:

$$F(u,v) = C(v)C(u) \sqrt{\frac{2}{MN}} \sum_{x=0}^{M-1} \sum_{y=0}^{N-1} f(x,y) \cos \frac{(2x+1)u\pi}{2M} \cos \frac{(2y+1)v\pi}{2N}$$

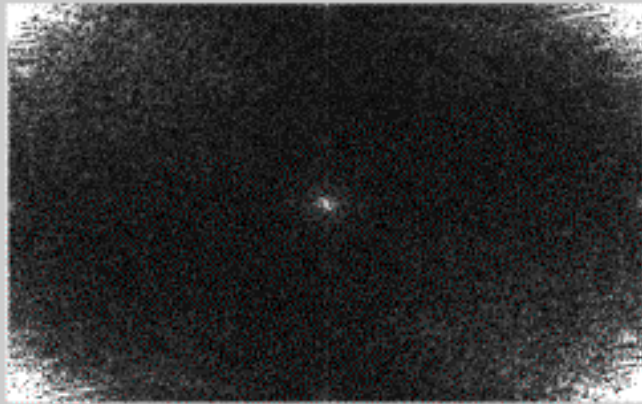
$$f(x,y) = \sqrt{\frac{2}{MN}} \sum_{u=0}^M \sum_{v=0}^{N-1} C(u)C(v)F(u,v) \cos \frac{(2x+1)u\pi}{2M} \cos \frac{(2y+1)v\pi}{2N}$$

$$F = G \times f \times G^T$$

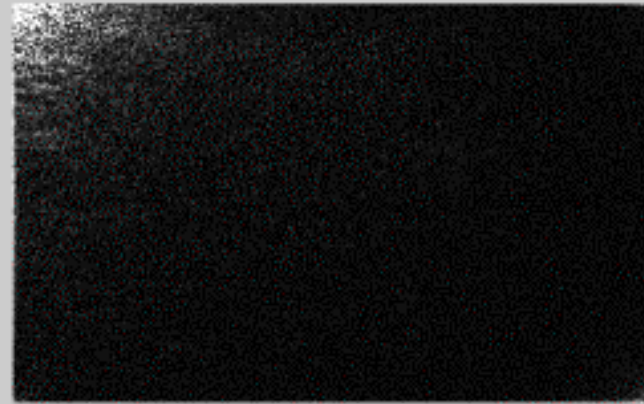
图像信号的正

二维离散余旋信号的频谱:

图像处理中DCT 之后的矩阵大的幅度系数都集中在左上角，这个就是能量集中的意思，先量化再zigzag扫描以后再编码的时候因为后面都是零，码长会比较短，有利于数据压缩，而FFT做不到这点，FFT是有cos又有sin的，编码码长会很长，所以数据压缩一般是DCT。



FFT 图像频谱

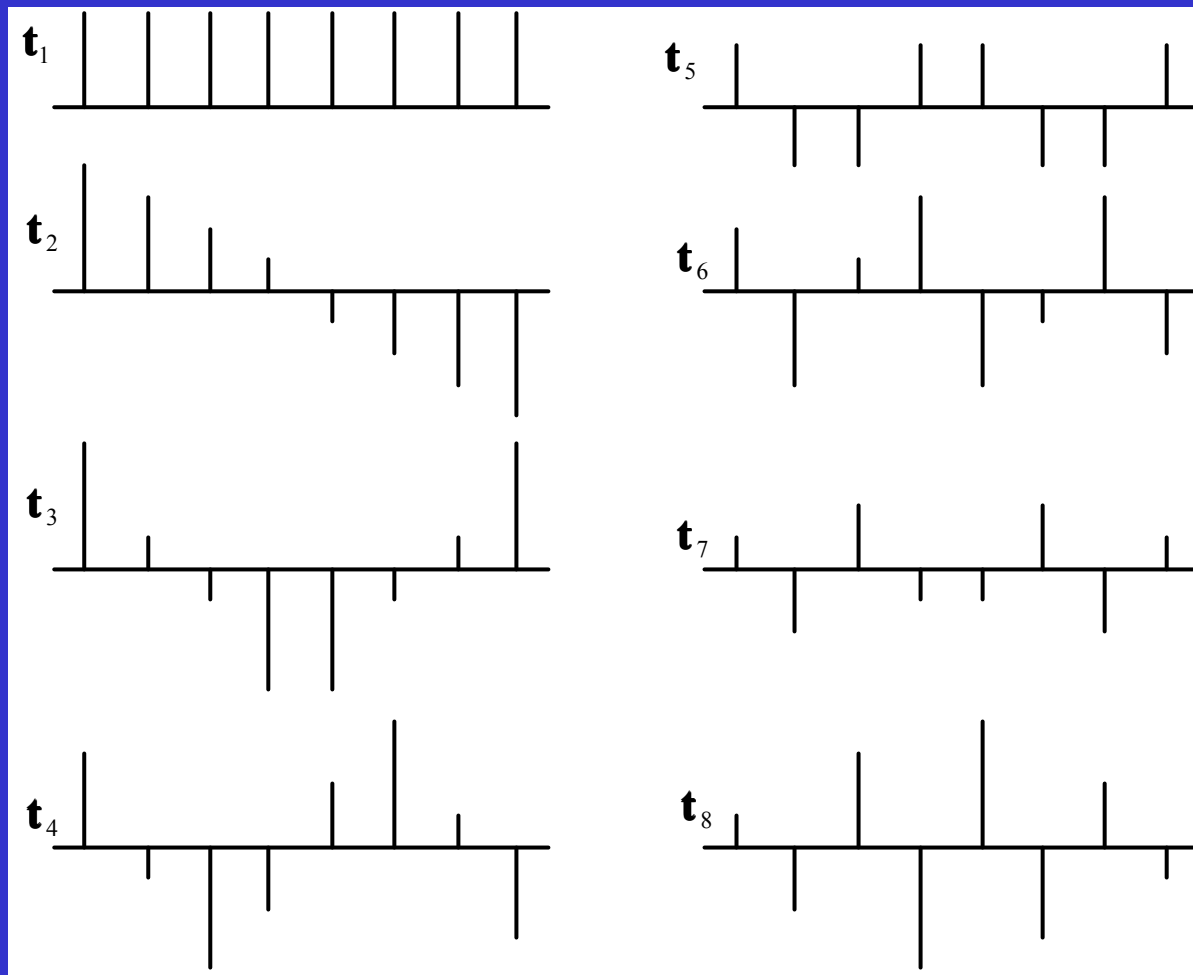


DCT图像频谱

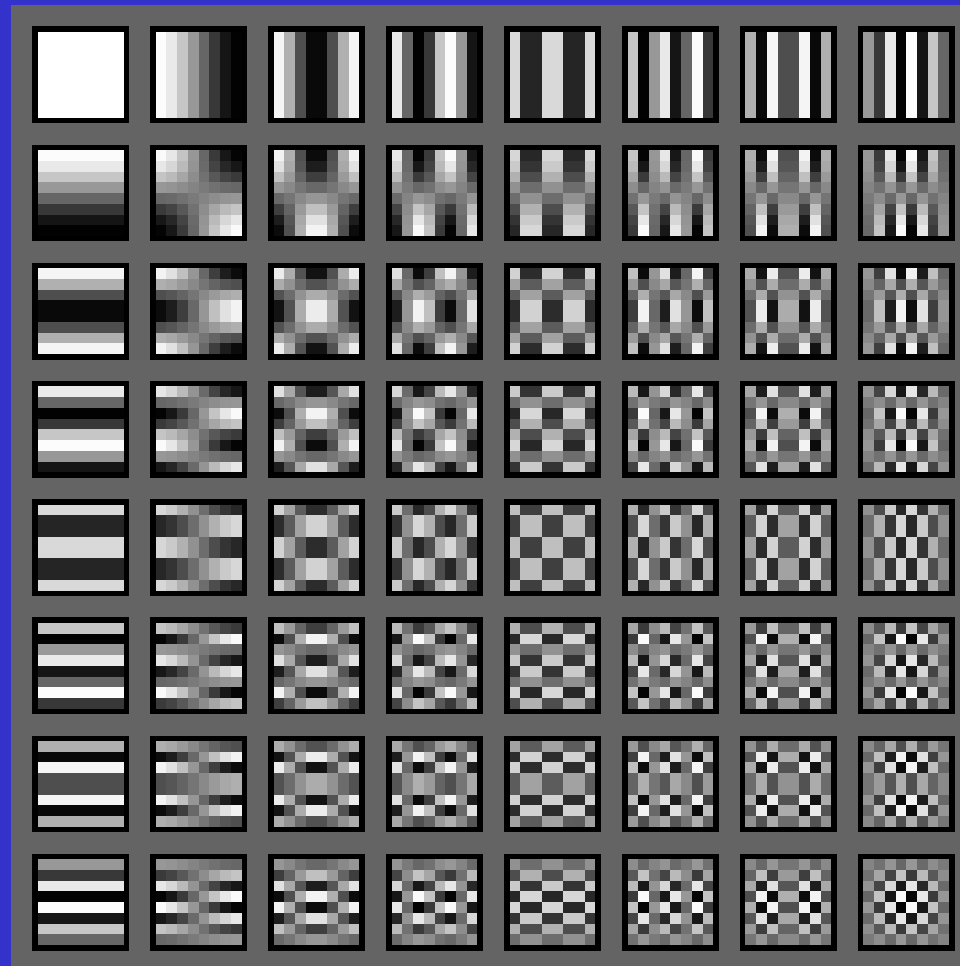
当 N=8时, DCT 变换矩阵如下:

$$\mathbf{T}^t = \begin{bmatrix} 0.354 & 0.49 & 0.462 & 0.416 & 0.354 & 0.278 & 0.191 & 0.098 \\ 0.354 & 0.416 & 0.191 & -0.098 & -0.354 & -0.49 & -0.462 & -0.278 \\ 0.354 & 0.278 & -0.191 & -0.49 & -0.354 & 0.098 & 0.462 & 0.416 \\ 0.354 & 0.098 & -0.462 & -0.278 & 0.354 & 0.416 & -0.191 & -0.49 \\ 0.354 & -0.098 & -0.462 & 0.278 & 0.354 & -0.416 & -0.191 & 0.49 \\ 0.354 & -0.278 & -0.191 & 0.49 & -0.354 & -0.098 & 0.462 & -0.416 \\ 0.354 & -0.416 & 0.191 & 0.098 & -0.354 & 0.49 & -0.462 & 0.278 \\ 0.354 & -0.49 & 0.462 & -0.416 & 0.354 & -0.278 & 0.191 & -0.098 \end{bmatrix}$$

一维DCT 基向量 (N=8)



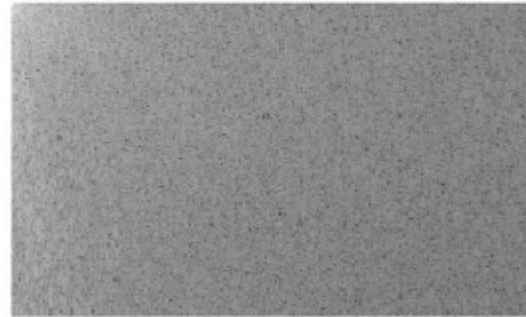
二维 DCT 基图像 (N=8)



原始图像



DCT变换结果



小于10的系数取为0

重构后的图像



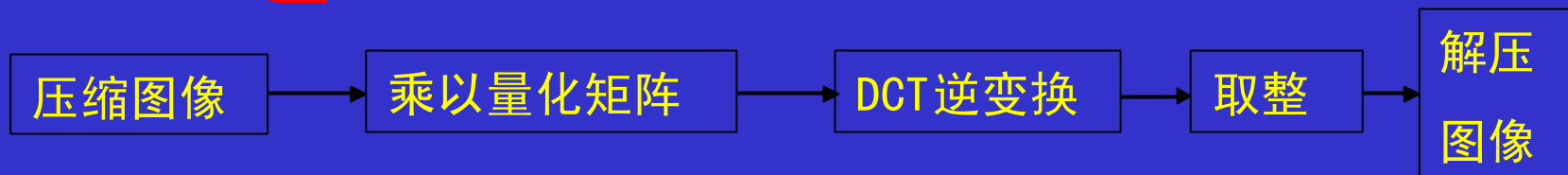
DCT变换编码

- DCT变换编码方法:

- 1) 编码过程:



- 2) 解码过程:



DCT变换编码

例:

原图像为:

$$F = \begin{bmatrix} 59 & 60 & 58 & 57 \\ 61 & 59 & 59 & 57 \\ 62 & 59 & 60 & 58 \\ 59 & 61 & 60 & 56 \end{bmatrix}$$

DCT变换



$$D_1 = \begin{bmatrix} 120.5 & 119.5 & 118.5 & 114.0 \\ -0.27 & -0.65 & -1.58 & 0.38 \\ -2.50 & 1.50 & -0.50 & -1.00 \\ 0.65 & -0.27 & 0.11 & 0.92 \end{bmatrix}$$

Huffman:42bits

除以量化矩阵, 取整



$$C = \begin{bmatrix} 16 & 11 & 11 & 16 \\ 12 & 12 & 14 & 19 \\ 14 & 13 & 16 & 24 \\ 14 & 17 & 22 & 29 \end{bmatrix}$$

$$D = \begin{bmatrix} 8 & 11 & 11 & 7 \\ 0 & 0 & 0 & 0 \\ 0 & 0 & 0 & 0 \\ 0 & 0 & 0 & 0 \end{bmatrix}$$

Huffman:28bits

DCT变换编码



原图



解压图

图像信号的正交变换—离散K-L变换

- 一般变换的变换核矩阵是固定不变的，而K-L变换则随各批图像的统计性质不同而有不同的变换核矩阵，即变换核矩阵是由某批图像的统计性质来确定的。
- 比如一幅图像通过卫星传送了N次，这时由于电波传播的影响，N幅图像互有差异，这样也可以进行统计。

- 一维K-L变换

- 对随机向量的集合, $f = \{f_1, f_2, \dots, f_n\}$

- 其均值向量为

$$\mu = E\{f\} \approx \frac{1}{N} \sum_{i=1}^N f_i$$

- 其斜方差阵 $\sum_f = E\{(f - \mu)(f - \mu)^T\} \approx \frac{1}{N} [\sum_{i=1}^N (f_i f_i^T)] - \mu \mu^T$

- 特征值和特征向量

$$\sum_f \phi_i = \lambda_i \phi_i, 0 \leq i \leq N-1$$

$$F = \phi^{*T} f$$

$$\phi = [\phi_1, \phi_2, \dots, \phi_n]$$

$$f = \phi F = \sum_{i=1}^{N-1} F(i) \phi_i$$

二维 $K-L$ 变换:

图象集合 $f(x, y) = \{f_1(x, y), \dots, f_l(x, y)\}$

$$f_i = \begin{bmatrix} f_{i,0} \\ f_{i,1} \\ \vdots \\ f_{i,M-1} \end{bmatrix} \quad f_{i,j} = \begin{bmatrix} f_i(j,0) \\ f_i(j,1) \\ \vdots \\ f_i(j,N-1) \end{bmatrix}$$

f 向量的斜方差阵 $\sum_f = E\{(f - \mu_f)(f - \mu_f)^T\}$

$\mu_f = E\{f\}$ 为均值向量, e_i 和 λ_i 是 \sum_f 的特征向量和对应的特征值,

设它们按照降序排列, 即 $\lambda_1 > \lambda_2 > \dots > \lambda_{MN}$, 相应的特征向量为 e_1, e_2, \dots, e_{mn}

$$A = \begin{bmatrix} e_{11} & e_{12} & \dots & e_{1,MN} \\ e_{21} & e_{22} & \dots & e_{2,MN} \\ \vdots & \vdots & \ddots & \vdots \\ e_{MN,1} & e_{MN,2} & \dots & e_{MN,MN} \end{bmatrix}$$

则 $K-L$ 变换写成矩阵 $F = A(f - \mu_f)$

图像信号的正交变换-沃尔什和哈达玛变换

沃尔什变换包括+1和-1构成的完备正交基，它与数字逻辑的两个状态相对应，因此更加利于计算机处理，它的存储空间和运算速度提高了很多，这一点对图像的实时处理非常有意义。

一维离散沃尔什变换：

$$g(x, u) = \frac{1}{N} \prod_{i=0}^n (-1)^{b_i(x) b_{n-1-i}(u)}$$

$$x = 0, 1, 2, \dots, N-1$$

$$u = 0, 1, 2, \dots, N-1$$

$$N = 2^n$$

图像信号的正交变换-沃尔什和哈达玛变换

$b_k(z)$ 是 z 的二进制表示的第 k 位值，或者是 0，或者是 1。
如 $z=6$ ，其二进制表示 110，则存在：

$$b_0(z) = 0, b_1(z) = 1, b_2(z) = 1$$

一维离散沃尔什变换定义：

$$W(u) = \frac{1}{N} \sum_{x=0}^{N-1} f(x) \prod_{i=0}^n (-1)^{b_i(x)b_{n-1-i}(u)}$$

$$f(x) = \sum_{u=0}^{N-1} W(u) \prod_{i=0}^n (-1)^{b_i(x)b_{n-1-i}(u)}$$

图像信号的正交变换-沃尔什和哈达玛变换

当 $n=2, N=4$ 时，沃尔什变幻核是：

$$G_4 = \frac{1}{4} \begin{bmatrix} 1 & 1 & 1 & 1 \\ 1 & 1 & -1 & -1 \\ 1 & -1 & 1 & -1 \\ 1 & -1 & -1 & 1 \end{bmatrix}$$

$$W = G \times f$$

图像信号的正交变换-沃尔什和哈达玛变换

二维离散沃尔什变换定义:

$$W(u,v) = \frac{1}{N^2} \sum_{y=0}^{N-1} \sum_{x=0}^{N-1} f(x,y) \prod_{i=0}^n (-1)^{[b_i(x)b_{n+1-i}(u) + b_i(y)b_{n+1-i}(v)]}$$

$$f(x) = \sum_{v=0}^{N-1} \sum_{u=0}^{N-1} W(u,v) \prod_{i=0}^n (-1)^{[b_i(x)b_{n+1-i}(u) + b_i(y)b_{n+1-i}(v)]}$$

$$W = G \times f \times G$$

图像信号的正交变换-沃尔什和哈达玛变换

例:

$$f = \begin{bmatrix} 1 & 1 & 1 & 1 \\ 1 & 1 & 1 & 1 \\ 1 & 1 & 1 & 1 \\ 1 & 1 & 1 & 1 \end{bmatrix} \quad G_4 = \frac{1}{4} \begin{bmatrix} 1 & 1 & 1 & 1 \\ 1 & 1 & -1 & -1 \\ 1 & -1 & 1 & -1 \\ 1 & -1 & -1 & 1 \end{bmatrix}$$

$$W = \frac{1}{4^2} \begin{bmatrix} 1 & 1 & 1 & 1 \\ 1 & 1 & -1 & -1 \\ 1 & -1 & 1 & -1 \\ 1 & -1 & -1 & 1 \end{bmatrix} \begin{bmatrix} 1 & 1 & 1 & 1 \\ 1 & 1 & 1 & 1 \\ 1 & 1 & 1 & 1 \\ 1 & 1 & 1 & 1 \end{bmatrix} \begin{bmatrix} 1 & 1 & 1 & 1 \\ 1 & 1 & -1 & -1 \\ 1 & -1 & 1 & -1 \\ 1 & -1 & -1 & 1 \end{bmatrix}$$

$$= \begin{bmatrix} 1 & 0 & 0 & 0 \\ 0 & 0 & 0 & 0 \\ 0 & 0 & 0 & 0 \\ 0 & 0 & 0 & 0 \end{bmatrix}$$

图像信号的正交变换-沃尔什和哈达玛变换

哈达玛变换是沃尔什变换的特例，其优点在于变换核函数具有简单的递推关系。

一维离散哈达玛变换：

$$g(x, u) = \frac{1}{N} (-1)^{\sum_{i=0}^{n-1} b_i(x) b_i(u)}$$

$$H(u) = \frac{1}{N} \sum_{x=0}^{N-1} f(x) (-1)^{\sum_{i=0}^{n-1} b_i(x) b_i(u)}$$

图像信号的正交变换-沃尔什和哈达玛变换

哈达玛变换是沃尔什变换的特例，其优点在于变换核函数具有简单的递推关系。

一维离散哈达玛变换的递推关系：

$$H_2 = \begin{bmatrix} 1 & 1 \\ 1 & -1 \end{bmatrix}$$

$$H_{2N} = \begin{bmatrix} H_N & H_N \\ H_N & -H_N \end{bmatrix}$$

图像信号的正交变换-沃尔什和哈达玛变换

二维离散哈达玛变换定义:

$$H(u, v) = \frac{1}{N^2} \sum_{x=0}^{N-1} \sum_{y=0}^{N-1} f(x, y) (-1)^{\sum_{i=0}^{n-1} [b_i(x)b_i(u) + b_i(y)b_i(v)]}$$

图像信号的正交变换-沃尔什和哈达玛变换

例:

$$f = \begin{bmatrix} 1 & 1 & 1 & 1 \\ 1 & 1 & 1 & 1 \\ 1 & 1 & 1 & 1 \\ 1 & 1 & 1 & 1 \end{bmatrix} \quad G_4 = \frac{1}{4} \begin{bmatrix} 1 & 1 & 1 & 1 \\ 1 & -1 & 1 & -1 \\ 1 & 1 & -1 & -1 \\ 1 & -1 & -1 & 1 \end{bmatrix}$$

$$W = \frac{1}{4^2} \begin{bmatrix} 1 & 1 & 1 & 1 \\ 1 & -1 & 1 & -1 \\ 1 & 1 & -1 & -1 \\ 1 & -1 & -1 & 1 \end{bmatrix} \begin{bmatrix} 1 & 1 & 1 & 1 \\ 1 & 1 & 1 & 1 \\ 1 & 1 & 1 & 1 \\ 1 & 1 & 1 & 1 \end{bmatrix} \begin{bmatrix} 1 & 1 & 1 & 1 \\ 1 & -1 & 1 & -1 \\ 1 & 1 & -1 & -1 \\ 1 & -1 & -1 & 1 \end{bmatrix}$$
$$= \begin{bmatrix} 1 & 0 & 0 & 0 \\ 0 & 0 & 0 & 0 \\ 0 & 0 & 0 & 0 \\ 0 & 0 & 0 & 0 \end{bmatrix}$$

图像信号的正交变换-图像的正交基表示

图像信号的变换域表示:

$$F(u, v) = \sum_{x=0}^{M-1} \sum_{y=0}^{N-1} f(x, y) g(x, y, u, v)$$

$$f(x, y) = \sum_{u=0}^M \sum_{v=0}^{N-1} F(u, v) h(x, y, u, v)$$

$g(x, y, u, v)$ 正变换核函数

$h(x, y, u, v)$ 逆变换核函数

图像信号的正交变换-图像的正交基表示

图像信号的变换域表示:

$g(x, y, u, v)$ 正变换核函数

$h(x, y, u, v)$ 逆变换核函数

$$g(x, y, u, v) = P(u, x)Q(v, y)$$

$$h(x, y, u, v) = P_1(u, x)Q_1(v, y)$$

$$F = P f Q^T$$

$$f = P_1 f Q_1^T$$

图像信号的正交变换-图像的正交基表示

基本图像和基本频谱:

$$P = [P_1, P_2, \dots, P_{N-1}]$$

$$Q = [Q_1, Q_2, \dots, Q_{N-1}]$$

$$F = \sum_i \sum_j f_{ij} P_i Q_j^T$$

$$f = \sum_i \sum_j F_{ij} P_i^* Q_j^{*T}$$

- FFT变换公式及几种应用
- DCT 变换公式及编码过程